

Starkniederschlagshöhen und -spenden gemäß KOSTRA-DWD-2020

Rasterfeld 171144

(Zeile 171, Spalte 144)

Regenspende und Bemessungsniederschlagswerte in Abhängigkeit von Wiederkehrzeit T und Dauerstufe D

| Dauerstufe D | | Wiederkehrzeit T | | | | | | | | | | | | | | | | | |
|--------------|-----|------------------|------------|------|------------|------|------------|------|------------|------|------------|-------|------------|-------|------------|-------|------------|-------|------------|
| | | 1 a | | 2 a | | 3 a | | 5 a | | 10 a | | 20 a | | 30 a | | 50 a | | 100 a | |
| min | Std | mm | l / (s ha) | mm | l / (s ha) | mm | l / (s ha) | mm | l / (s ha) | mm | l / (s ha) | mm | l / (s ha) | mm | l / (s ha) | mm | l / (s ha) | mm | l / (s ha) |
| 5 | | 7,6 | 253,3 | 9,4 | 313,3 | 10,5 | 350,0 | 11,9 | 396,7 | 13,9 | 463,3 | 16,0 | 533,3 | 17,4 | 580,0 | 19,2 | 640,0 | 21,8 | 726,7 |
| 10 | | 9,8 | 163,3 | 12,0 | 200,0 | 13,4 | 223,3 | 15,2 | 253,3 | 17,8 | 296,7 | 20,5 | 341,7 | 22,3 | 371,7 | 24,6 | 410,0 | 27,9 | 465,0 |
| 15 | | 11,1 | 123,3 | 13,6 | 151,1 | 15,2 | 168,9 | 17,2 | 191,1 | 20,1 | 223,3 | 23,2 | 257,8 | 25,2 | 280,0 | 27,8 | 308,9 | 31,5 | 350,0 |
| 20 | | 12,0 | 100,0 | 14,7 | 122,5 | 16,4 | 136,7 | 18,7 | 155,8 | 21,9 | 182,5 | 25,2 | 210,0 | 27,3 | 227,5 | 30,1 | 250,8 | 34,2 | 285,0 |
| 30 | | 13,4 | 74,4 | 16,4 | 91,1 | 18,3 | 101,7 | 20,8 | 115,6 | 24,3 | 135,0 | 28,0 | 155,6 | 30,4 | 168,9 | 33,6 | 186,7 | 38,1 | 211,7 |
| 45 | | 14,8 | 54,8 | 18,2 | 67,4 | 20,3 | 75,2 | 23,0 | 85,2 | 27,0 | 100,0 | 31,0 | 114,8 | 33,7 | 124,8 | 37,2 | 137,8 | 42,2 | 156,3 |
| 60 | 1 | 15,9 | 44,2 | 19,5 | 54,2 | 21,7 | 60,3 | 24,7 | 68,6 | 28,9 | 80,3 | 33,3 | 92,5 | 36,1 | 100,3 | 39,9 | 110,8 | 45,2 | 125,6 |
| 90 | 1,5 | 17,5 | 32,4 | 21,5 | 39,8 | 23,9 | 44,3 | 27,2 | 50,4 | 31,8 | 58,9 | 36,6 | 67,8 | 39,8 | 73,7 | 43,9 | 81,3 | 49,8 | 92,2 |
| 120 | 2 | 18,7 | 26,0 | 23,0 | 31,9 | 25,6 | 35,6 | 29,0 | 40,3 | 34,0 | 47,2 | 39,2 | 54,4 | 42,5 | 59,0 | 46,9 | 65,1 | 53,3 | 74,0 |
| 180 | 3 | 20,5 | 19,0 | 25,2 | 23,3 | 28,1 | 26,0 | 31,9 | 29,5 | 37,3 | 34,5 | 43,0 | 39,8 | 46,7 | 43,2 | 51,5 | 47,7 | 58,4 | 54,1 |
| 240 | 4 | 21,9 | 15,2 | 26,9 | 18,7 | 30,0 | 20,8 | 34,0 | 23,6 | 39,9 | 27,7 | 45,9 | 31,9 | 49,8 | 34,6 | 55,0 | 38,2 | 62,4 | 43,3 |
| 360 | 6 | 24,0 | 11,1 | 29,5 | 13,7 | 32,9 | 15,2 | 37,3 | 17,3 | 43,7 | 20,2 | 50,3 | 23,3 | 54,6 | 25,3 | 60,3 | 27,9 | 68,4 | 31,7 |
| 540 | 9 | 26,3 | 8,1 | 32,3 | 10,0 | 36,0 | 11,1 | 40,9 | 12,6 | 47,9 | 14,8 | 55,1 | 17,0 | 59,8 | 18,5 | 66,0 | 20,4 | 74,9 | 23,1 |
| 720 | 12 | 28,1 | 6,5 | 34,4 | 8,0 | 38,4 | 8,9 | 43,6 | 10,1 | 51,0 | 11,8 | 58,7 | 13,6 | 63,8 | 14,8 | 70,4 | 16,3 | 79,9 | 18,5 |
| 1080 | 18 | 30,7 | 4,7 | 37,7 | 5,8 | 42,0 | 6,5 | 47,7 | 7,4 | 55,9 | 8,6 | 64,3 | 9,9 | 69,8 | 10,8 | 77,1 | 11,9 | 87,4 | 13,5 |
| 1440 | 24 | 32,7 | 3,8 | 40,2 | 4,7 | 44,8 | 5,2 | 50,9 | 5,9 | 59,6 | 6,9 | 68,6 | 7,9 | 74,5 | 8,6 | 82,2 | 9,5 | 93,2 | 10,8 |
| 2880 | 48 | 38,2 | 2,2 | 46,9 | 2,7 | 52,3 | 3,0 | 59,3 | 3,4 | 69,5 | 4,0 | 80,0 | 4,6 | 86,9 | 5,0 | 95,9 | 5,5 | 108,8 | 6,3 |
| 4320 | 72 | 41,8 | 1,6 | 51,3 | 2,0 | 57,2 | 2,2 | 64,9 | 2,5 | 76,1 | 2,9 | 87,6 | 3,4 | 95,1 | 3,7 | 104,9 | 4,0 | 119,0 | 4,6 |
| 5760 | 96 | 44,6 | 1,3 | 54,7 | 1,6 | 61,0 | 1,8 | 69,2 | 2,0 | 81,1 | 2,3 | 93,3 | 2,7 | 101,3 | 2,9 | 111,8 | 3,2 | 126,9 | 3,7 |
| 7200 | 120 | 46,8 | 1,1 | 57,5 | 1,3 | 64,1 | 1,5 | 72,7 | 1,7 | 85,2 | 2,0 | 98,1 | 2,3 | 106,5 | 2,5 | 117,5 | 2,7 | 133,3 | 3,1 |
| 8640 | 144 | 48,8 | 0,9 | 59,9 | 1,2 | 66,7 | 1,3 | 75,7 | 1,5 | 88,7 | 1,7 | 102,1 | 2,0 | 110,9 | 2,1 | 122,4 | 2,4 | 138,9 | 2,7 |
| 10080 | 168 | 50,5 | 0,8 | 61,9 | 1,0 | 69,0 | 1,1 | 78,4 | 1,3 | 91,8 | 1,5 | 105,7 | 1,7 | 114,8 | 1,9 | 126,6 | 2,1 | 143,7 | 2,4 |

Starkniederschlagshöhen und -spenden gemäß KOSTRA-DWD-2020

Rasterfeld 171144

(Zeile 171, Spalte 144)

Örtliche Unsicherheiten in Abhängigkeit von Wiederkehrzeit T und Dauerstufe D

| Dauerstufe D | | Wiederkehrzeit T | | | | | | | | |
|--------------|-----|------------------|-----|-----|-----|------|------|------|------|-------|
| | | 1 a | 2 a | 3 a | 5 a | 10 a | 20 a | 30 a | 50 a | 100 a |
| min | Std | ± % | ± % | ± % | ± % | ± % | ± % | ± % | ± % | ± % |
| 5 | | 12 | 13 | 14 | 14 | 15 | 15 | 16 | 16 | 17 |
| 10 | | 15 | 16 | 17 | 18 | 19 | 20 | 20 | 21 | 21 |
| 15 | | 17 | 19 | 19 | 20 | 21 | 22 | 23 | 23 | 24 |
| 20 | | 18 | 20 | 21 | 22 | 23 | 24 | 24 | 25 | 25 |
| 30 | | 19 | 21 | 22 | 23 | 24 | 25 | 25 | 26 | 26 |
| 45 | | 19 | 21 | 22 | 23 | 24 | 25 | 26 | 26 | 27 |
| 60 | 1 | 19 | 21 | 22 | 23 | 24 | 25 | 25 | 26 | 27 |
| 90 | 1,5 | 18 | 20 | 21 | 22 | 24 | 24 | 25 | 25 | 26 |
| 120 | 2 | 18 | 20 | 21 | 22 | 23 | 24 | 24 | 25 | 25 |
| 180 | 3 | 17 | 19 | 20 | 21 | 22 | 23 | 23 | 24 | 24 |
| 240 | 4 | 16 | 18 | 19 | 20 | 21 | 22 | 22 | 23 | 23 |
| 360 | 6 | 15 | 17 | 17 | 18 | 20 | 20 | 21 | 21 | 22 |
| 540 | 9 | 14 | 16 | 16 | 17 | 18 | 19 | 20 | 20 | 21 |
| 720 | 12 | 13 | 15 | 16 | 17 | 18 | 18 | 19 | 19 | 20 |
| 1080 | 18 | 13 | 14 | 15 | 16 | 17 | 17 | 18 | 18 | 19 |
| 1440 | 24 | 13 | 14 | 15 | 15 | 16 | 17 | 17 | 18 | 18 |
| 2880 | 48 | 13 | 14 | 14 | 15 | 15 | 16 | 16 | 17 | 17 |
| 4320 | 72 | 14 | 14 | 14 | 15 | 15 | 16 | 16 | 16 | 17 |
| 5760 | 96 | 15 | 15 | 15 | 15 | 16 | 16 | 16 | 16 | 17 |
| 7200 | 120 | 15 | 15 | 15 | 15 | 16 | 16 | 16 | 17 | 17 |
| 8640 | 144 | 16 | 16 | 16 | 16 | 16 | 16 | 16 | 17 | 17 |
| 10080 | 168 | 16 | 16 | 16 | 16 | 16 | 17 | 17 | 17 | 17 |

Parameter für abweichende T und D

Lokationsparameter ξ (Xi)

16,19967915

Skalenparameter α (Alpha)

5,11755449

Formparameter κ (Kappa)

-0,1

1. Koutsoyiannis-Parameter θ (Theta)

0,02424495

2. Koutsoyiannis-Parameter η (Eta)

0,77807274

Parameter für dauerstufenübergreifende Extremwertschätzung nach KOUTSOYIANNIS et al. 1998.

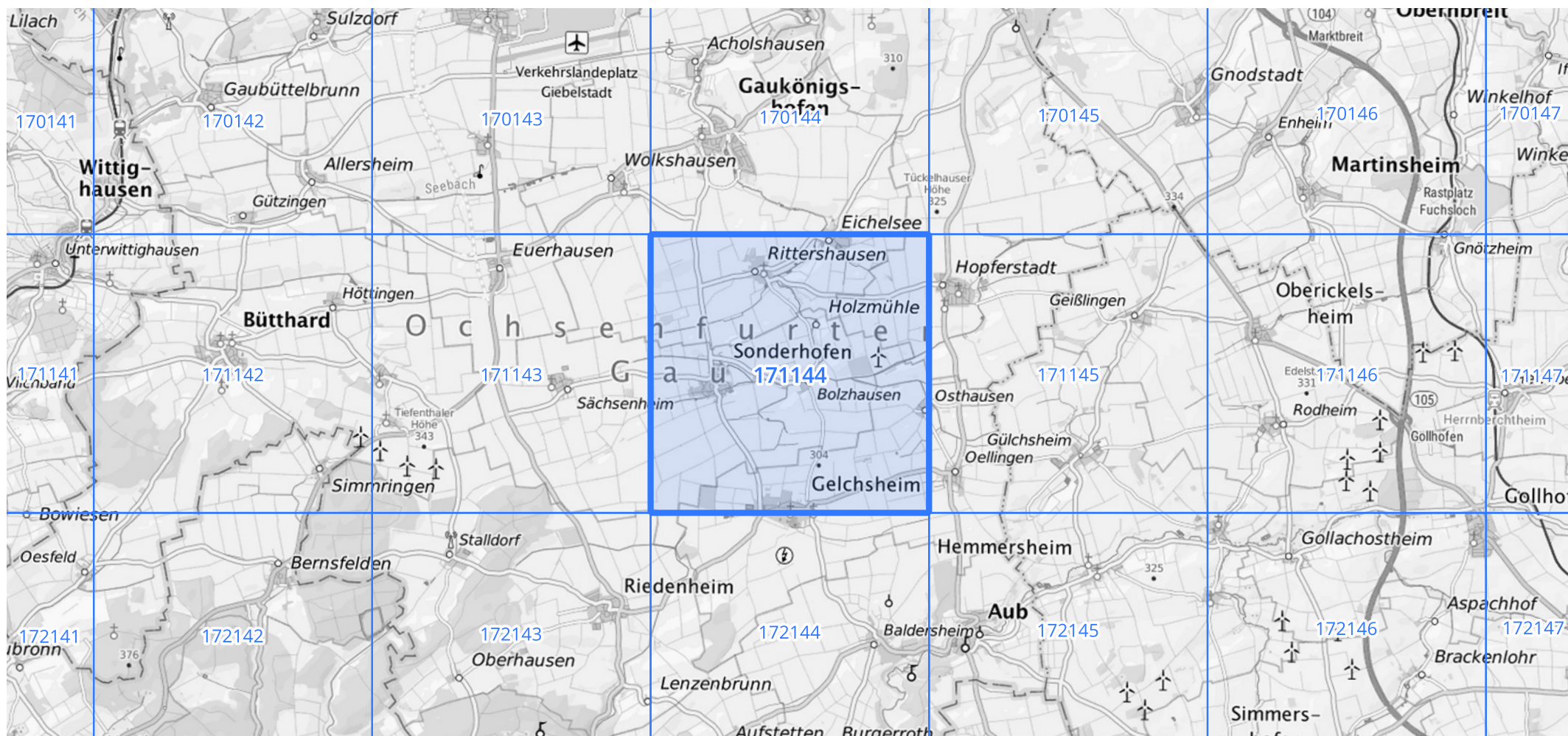
Siehe auch Anwendungshilfe zu KOSTRA-DWD-2020 des Deutschen Wetterdienstes.

Starkniederschlagshöhen und -spenden gemäß KOSTRA-DWD-2020

Rasterfeld 171144

(Zeile 171, Spalte 144)

Übersichtskarte des Rasterfeldes 171144, M 1 : 100 000



Quelle Rasterdaten: KOSTRA-DWD-2020 des Deutschen Wetterdienstes, Stand 12/2022.

Seite 3 von 3

Kartendarstellung: © Bundesamt für Kartographie und Geodäsie (2023), Datenquellen: https://sgx.geodatenzentrum.de/web_public/gdz/datenquellen/Datenquellen_TopPlusOpen.html

Für die Richtigkeit und Aktualität der Angaben wird keine Gewähr übernommen. Erstellt 01/2023.